

J. Haig

CRUSTACEANA

INTERNATIONAL JOURNAL OF
CRUSTACEAN RESEARCH

SUPPLEMENT 3

STUDIES ON PERACARIDA
(ISOPODA, TANAIDACEA, AMPHIPODA,
MYSIDACEA, CUMACEA)



LEIDEN
E. J. BRILL
1972

Copyright 1972 by E. J. Brill, Leiden, Netherlands

All rights reserved. No part of this book may be reproduced or translated in any form, by print, photoprint, microfilm, microfiche or any other means without written permission from the publisher

PRINTED IN THE NETHERLANDS

CONTENTS

ALIKHAN, M. A., The fine structure of the midgut epithelium in the wood- louse, <i>Porcellio laevis</i> Latreille (Isopoda, Porcellionidae)	101
BOURDON, ROLAND & RICHARD B. PIKE, Description des larves et du déve- loppement post-larvaire de <i>Pseudione affinis</i> (G. O. Sars)	148
CHARDY, PIERRE, <i>Janirella priseri</i> sp. n., Isopode abyssal de l'Atlantique nord	11
DEXTER, RALPH W., Additional records of the sea-side isopod <i>Ligia oceanica</i> at Cape Ann, Massachusetts, U.S.A.	100
DUMAY, DANIELÈ, Révision systématique du genre <i>Cymodoce</i> (Isopoda, Flabellifera), II. Description de <i>Cymodoce hansenii</i> nov. sp. des côtes méditerranéennes	198
EVANS, FRANK & MARTIN SHEADER, Host species of the hyperiid amphipod <i>Hyperoche medusarum</i> (Krøyer) in the North Sea	275
FRESI, EUGENIO & ULRICH SCHIECKE, <i>Pleurocope dasyura</i> Walker, 1901 and the <i>Pleurocopidae</i> new family (Isopoda, Asellota)	207
FRESI, EUGENIO, see SCHIECKE, ULRICH	
GELDĀY, REMZI & AHMET KOCATAŞ, Isopods collected in Izmir Bay, Aegean Sea	19
GIBERT, JANINE, Contribution à l'étude de l'hémolymphe de <i>Niphargus</i> <i>virei</i> Chevreux (Amphipode hypogé): ses constituants, leur origine et leurs fonctions	342
GLYNN, PETER W., Rediscovery of <i>Paracerceis edithae</i> Boone (Isopoda, <i>Sphaeromatidae</i>) with supplementary notes on morphology and habitat	139
HARPER, FRANÇOISE, see HYNES, H. B. N.	
HESSLER, ROBERT R., The relationship between <i>Serolis carinata</i> Lockington and <i>Serolis mgrayi</i> Menzies & Frankenberg (Isopoda, Flabellifera)	1
HYNES, H. B. N. & FRANÇOISE HARPER, The life histories of <i>Gammarus</i> <i>lacustris</i> and <i>G. pseudolimnaeus</i> in southern Ontario	329
INGLE, R. W., The proposed suppression of the name <i>Oniscus bicaudatus</i> Linnaeus, 1761, the earliest available name for <i>Corophium volutator</i> (Pallas, 1766); the selection of neotypes for <i>C. volutator</i> and for <i>C. bon-</i> <i>nelli</i> H. Milne Edwards, 1830 (Amphipoda, Corophiidae)	326
KOCATAŞ, AHMET, see GELDĀY, REMZI	
KUDRJASCHOV, V. A., On a new species of <i>Dogielinotus</i> (Amphipoda) from the Sea of Okhotsk	246
KUSSAKIN, O. G., Isopoda from the coastal zone of the Kurile Islands. I. <i>Janiridae</i> and <i>Jaeropsidae</i> from Urup Island	155

—, Isopoda from the coastal zone of the Kurile Islands. II. Some data on the Munnidae mainly from the Middle Kuriles	166
—, Isopoda from the coastal zone of the Kurile Islands. III. Three new arcturids from the Middle Kuriles with taxonomic remarks on the family Arcturidae	178
KUSSAKIN, O. G. & L. A. TZAREVA, Tanaidacea from the coastal zones of the Middle Kurile Islands	237
LANG, KARL, Siphonolabrum mirabile n. gen., n. sp. (Tanaidacea)	214
—, Bathytanais bathybrotos (Beddard) und Leptognathia dissimilis n. sp. (Tanaidacea)	221
LATTINGER-PENKO, ROMANA, Contribution à la biologie du Stenasellus hungaricus thermalis Meštrov, 1960 (Isopoda)	117
LOWRY, JAMES K., Taxonomy and distribution of Microprotopus along the east coast of the United States (Amphipoda, Isaeidae)	277
MARKHAM, JOHN C., Two new genera of western Atlantic abdominally parasitizing Bopyridae (Isopoda, Epicaridea), with a proposed new name for their subfamily	39
—, Four new species of Parathelges Bonnier, 1900 (Isopoda, Bopyridae), the first record of the genus from the western Atlantic	57
—, Extension of range, a new host record and color notes for the parasitic isopod Leidya bimini Pearse, 1951 (Isopoda, Bopyridae)	190
MAURER, DON, see WATLING, LES	
MEIJERING, M. P. D., Physiologische Beiträge zur Frage der systematischen Stellung von Gammarus pulex (L.) und Gammarus fossarum Koch (Amphipoda)	313
MORAN, SHMUEL, Ecology of distribution of the sand-dwelling mysid Gastrosaccus sanctus (Van Beneden, 1861) along the Mediterranean sandy shore of Israel	357
NATH, C. N., On the storage of calcium in Spelaeomysis, a subterranean mysid	351
NATH, C. N., D. M. THAMPY & N. K. PILLAI, A note on the androgenic gland of a subterranean mysidacean, Spelaeomysis longipes (Pillai & Mariamma)	354
NATH, P. RABINDRA, A new species of Podocerus Leach (Amphipoda) with a redescription of Podocerus brasiliensis (Dana, 1853)	299
NAUROZ, M. K., see SCHNEIDER, P.	
PIKE, RICHARD B., see BOURDON, ROLAND	
PILLAI, N. K., see NATH, C. N.	
PINKSTER, SJOUK, see STOCK, JAN H.	
RAM, LAKSHMAN, A note on an abnormality in Nichollisia kashiensis Chopra & Tiwari, 1949 (Isopoda, Phreatoicoidea)	7
REYSS, DANIEL, Résultats scientifiques de la campagne du N.O. „Jean Charcot” en Méditerranée occidentale, mai-juin-juillet 1970. Cumacés	362

ROTRAMEL, GEORGE, <i>Iais californica</i> and <i>Sphaeroma quoyanum</i> , two symbiotic isopods introduced to California (Isopoda, Janiridae and Sphaeromatidae)	193
ROUX, C., Les variations de la courbe métabolisme/température de <i>Gammarus lacustris</i> G. O. Sars (Crustacé, Amphipode) sous l'influence de divers facteurs écologiques	287
SCHIECKE, ULRICH & EUGENIO FRESI, Record of the asellote isopod <i>Austrosignum Hodgson</i> from the Bay of Naples: <i>Austrosignum maltinii</i> n. sp. (<i>Paraselloidea</i> , <i>Munnidae</i>)	31
SCHIECKE, ULRICH, see FRESI, EUGENIO	
SCHNEIDER, P. & M. K. NAUROZ, Beitrag zur Morphologie, Wachstum und Augenentwicklung der Afghanischen Wüstenassel <i>Hemilepistus aphganicus</i> Borutzki, 1958 (Isopoda, Oniscoidea)	110
SCHULTZ, GEORGE A., Ecology and systematics of terrestrial isopod crustaceans from Bermuda (<i>Oniscoidea</i>)	79
SHEADER, MARTIN, see EVANS, FRANK	
SIVAPRAKASAM, T. E., A new species of <i>Idunella</i> Sars (<i>Amphipoda</i> , <i>Liljeborgiidae</i>) from India	308
STOCK, JAN H. & SJOUK PINKSTER, <i>Echinogammarus fluminensis</i> Pinkster & Stock, 1970 (<i>Amphipoda</i>) found in France and Greece	297
THAMPY, D. M., see NATH, C. N.	
TZAREVA, L. A., see KUSSAKIN, O. G.	
WATLING, LES & DON MAURER, Marine shallow water amphipods of the Delaware Bay area, U.S.A.	251
WILDISH, D. J., Post embryonic growth and age in some littoral <i>Orchestia</i> (<i>Amphipoda</i> , <i>Talitridae</i>)	267
WILLIAMS, W. D., Occurrence in Britain of <i>Asellus communis</i> Say, 1818, a North American freshwater isopod	134

RÉVISION SYSTÉMATIQUE DU GENRE *CYMODOCE* (ISOPODA
FLABELLIFERA), II. DESCRIPTION DE *CYMODOCE HANSENI*
NOV. SP. DES CÔTES MÉDITERRANÉENNES

PAR

DANIÈLE DUMAY

Station Marine d'Endoume, 13 Marseille 7°, France

C'est au cours de la révision systématique du genre *Cymodoce* et de son étude écologique et biologique (Dumay, 1970) sur du matériel provenant du Golfe de Marseille, que fut découverte la nouvelle espèce.

Les spécimens ont été trouvés sur des fonds d'herbiers de Posidonies; ils furent récoltés soit de nuit par dragage ou fauchage, soit de jour et plus précisément dans les mattes grâce à l'utilisation d'une bêche plate.

***Cymodoce hanseni* nov. sp. (figs. 1-3)**

Matériel examiné. — Méditerranée, Golfe de Marseille: Cap Croisette — Ile Maire (-10 m), 1967-1970, 1 ♂ holotype (Mus. Hist. Nat. Paris), 3 ♂ paratypes et 10 juvéniles; Gaby (-14 m), 1963, 3 ♂ paratypes (D.D. coll.). Calanque de Sormiou (-25 m), 1968-1970, 6 ♂ paratypes, 1 ♀ allotype et 1 ♀ paratype et 10 juvéniles (D.D. coll.).

Nom. — En hommage à son important travail effectué sur les Sphaeromidae, je dédie cette espèce à l'auteur H. J. Hansen.

Description d'un ♂ paratype (pubère). — Longueur du corps 11 mm.

Le céphalon est moins large que le péréion; sa surface est lisse. Les yeux sont postéro-latéraux et saillants.

Le péréion: le premier tergite est le plus long; tous les tergites ont une surface lisse. Latéralement des lignes de suture séparent les tergites des plaques épimérales, à l'exception du premier tergite où aucune ligne de suture n'est visible; ce dernier montre deux prolongements latéraux: un prolongement rostral qui borde la partie sternale du lobe oculaire et dont la terminaison est arrondie; un prolongement caudal qui se superpose au deuxième épimère et dont la terminaison est également arrondie. Les épimères suivants ont une forme sub-quadratique dont la partie rostrale est presque totalement masquée par le recouvrement des épimères antérieurs; la partie caudale est légèrement en relief et lisse. Chez les 3 premiers l'angle distal est aigu, il est émoussé chez les suivants. Les épimères portent des soies sur l'angle distal.

Le métasome antérieur lisse comprend 3 parties: une partie médiane dont le bord caudal se prolonge sur le pléotelson en 2 dents qui sont elles-même séparées par une forte concavité et surmontées chacune d'une touffe de petites soies et 2 parties latérales dont le bord caudal porte de longues soies. Sur celles-ci, les lignes de suture des 4 segments primitifs sont visibles et soulignées d'une rangée de soies.

Le métasome postérieur ou pléotelson est couvert de granules ponctiformes qui sont hérissés de soies courtes. Deux carènes — visibles en observation de profil — partent extérieurement aux 2 dents caudales du métasome antérieur; leurs terminaisons forment 2 tubercules anguleux et lisses qui portent une touffe de soies.

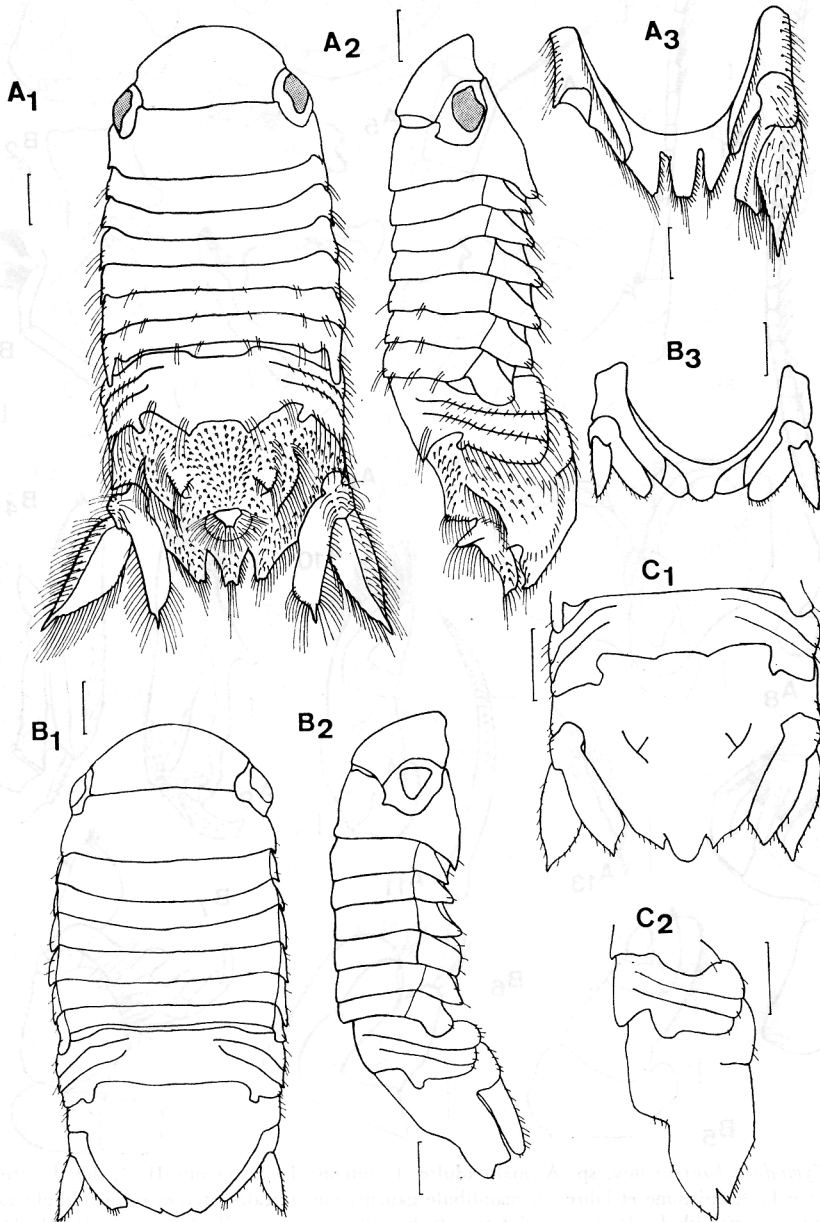


Fig. 1. *Cymodoce hanseni* nov. sp. A, mâle adulte. 1, vue dorsale; 2, profil; 3, pléon, face sternale. B, femelle adulte. 1, vue dorsale; 2, profil; 3, pléon, face sternale. C, immature sexué mâle. 1, pléon, face dorsale; 2, pléon, profil. Echelle = 1 mm.

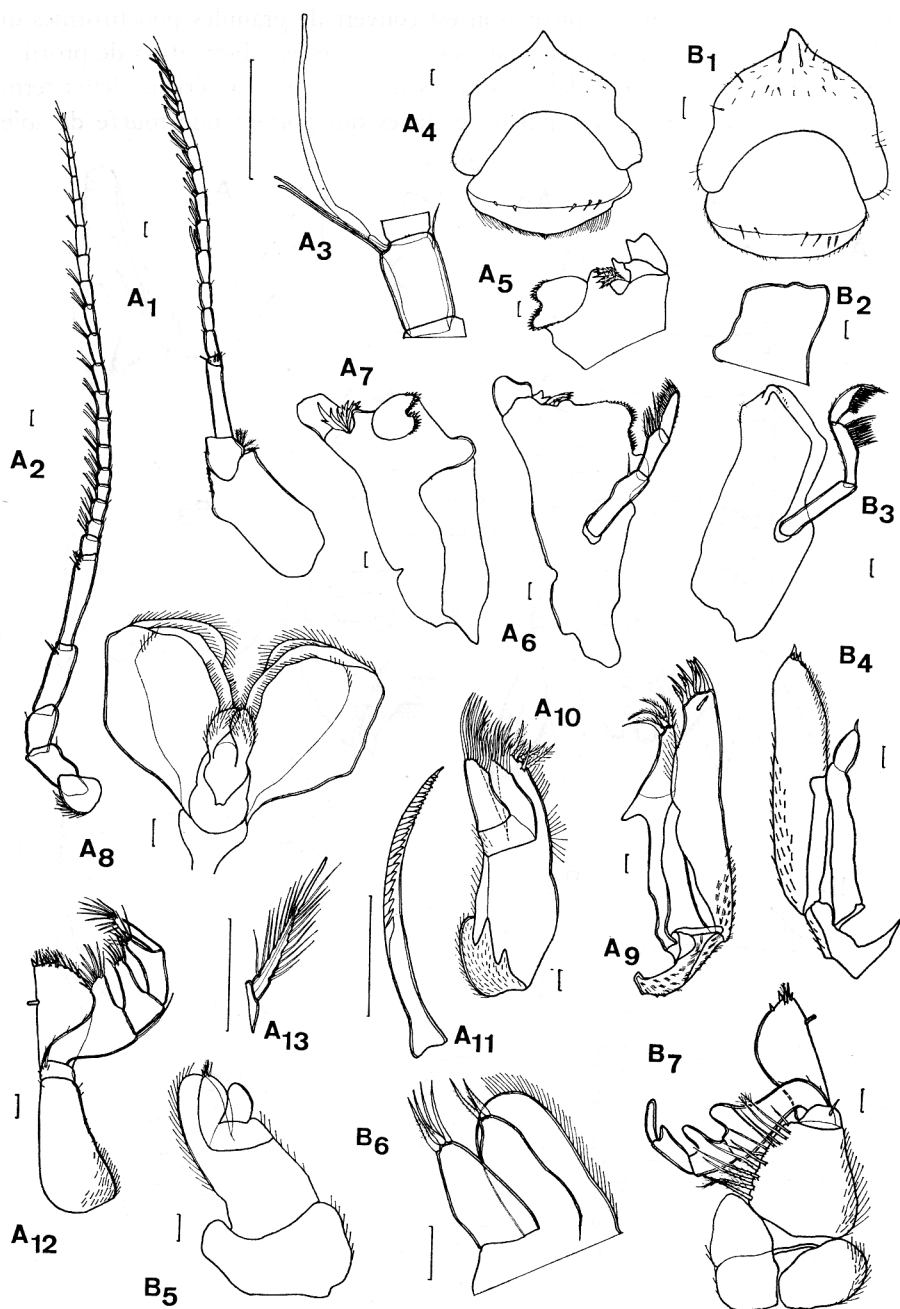


Fig. 2. *Cymodoce hanseni* nov. sp. A, mâle adulte. 1, antenne I; 2, antenne II; 3, détail, article 13 de l'antenne I; 4, épistome et labre; 5, mandibule gauche, vue apicale-externe; 6, mandibule gauche, vue externe; 7, mandibule droite, vue interne; 8, hypostome; 9, maxille I; 10, maxille II; 11, soie lamellaire du lobe médian; 12, maxillipède; 13, soie barbelée de l'endite interne. B, femelle adulte. 1, épistome et labre; 2, mandibule gauche, vue apicale-interne; 3, mandibule gauche, vue interne; 4, maxille I; 5, maxille II gauche; 6, maxille II droite; 7, maxillipède. Echelle = 100 μ .

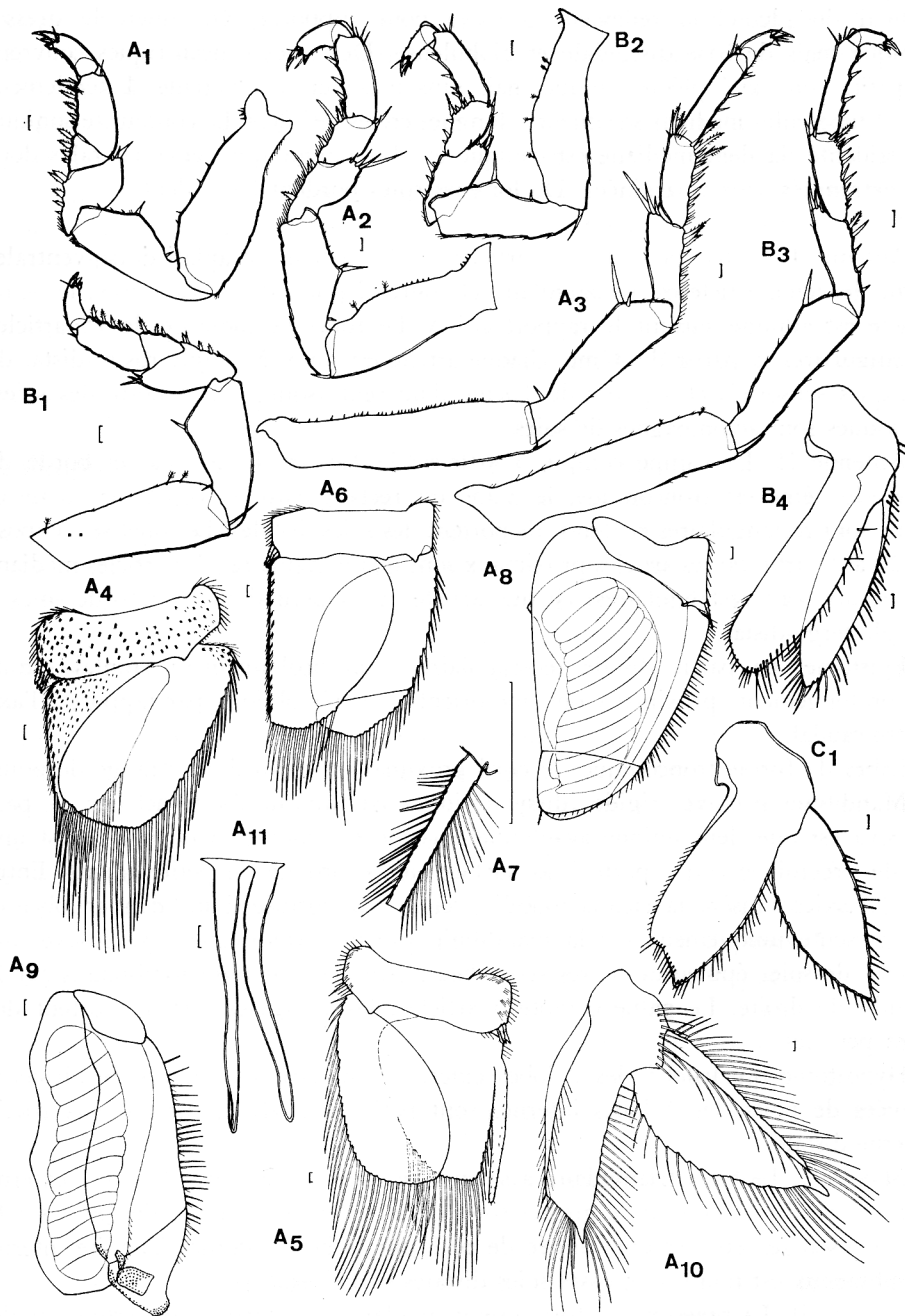


Fig. 3. *Cymodoce hanseni* nov. sp. A, mâle adulte. 1, péréiopode I; 2, péréiopode IV; 3, péréiopode VII; 4, pléopode I; 5, pléopode II; 6, pléopode III; 7, soie pennée de l'exopodite; 8, pléopode IV; 9, pléopode V; 10, uropode; 11, pénis. B, femelle adulte. 1, péréiopode I; 2, péréiopode IV; 3, péréiopode VII; 4, uropode. C, immature sexué mâle ou femelle. 1, uropode. Echelle = 100 μ .

Un profond sillon sépare les 2 carènes. A l'extrémité de ce sillon, le profil longitudinal du pléotelson redevient convexe pour supporter un tubercule dressé, conique mais de base discoïdale et globuleuse. Des soies concentriques couvrent la petite convexité pléotelsonique mais sans masquer le tubercule. Latéralement aux 2 tubercules médians se situent 2 longues crêtes sétifères. Le contour telsonique est tridenté; la dent médiane est conique et plus longue que celles latérales dont les extrémités sont émarginées. De longues soies bordent les 3 dents.

Antenne I. La hampe compte 3 articles; le 1er article est aplati dorso-ventralement; le 2ème article est rectangulaire et court; il porte des soies ciliées; le 3ème article est allongé suivant le rapport L/l 5. Le fouet se compose de 15 articles rectangulaires; à partir du 4ème, chaque article est muni à l'angle rostro-distal de 2 asques sensoriels et à partir du 10ème d'un seul asque; l'apex porte des soies; les asques sont accompagnés de soies.

Antenne II. La hampe compte 5 articles; le 1er article est plat et bordé de soies; le 2ème est tronconique, le 3ème est rectangulaire et court; les 4ème et 5ème sont rectangulaires et longs; ils portent des soies distales. Le fouet se compose de 20 à 23 articles; les articles proximaux sont quadrangulaires, les articles médians et distaux sont rectangulaires; chaque article est pourvu d'une touffe de soies à l'angle tergo-distal.

Epistome. La partie distale rectangulaire a un prolongement frontal étroit; les prolongements proximaux ont une orientation très oblique par rapport à l'axe rostro-caudal.

Labre de forme tronconique; le bord proximal est garni d'une frange de poils.

Mandibule massive, rigide, dissymétrique. Au niveau du tranchant: la pars incisiva est une dent unique ayant une encoche externe; la pars molaris est une solide proéminence qui porte à sa surface une couronne de petites dents. Entre les 2 parties s'insère la lacinia mobilis; celle-ci est formée d'une dent trilobée et est présente uniquement sur la mandibule gauche. Apicalement, se trouve une rangée de soies épineuses et très recourbées; celles-ci sont plus nombreuses sur la mandibule droite. Le palpe compte 5 articles: les 2 articles distaux portent des soies pennées.

Hypostome quadrilobé; les 2 lobes externes sont larges et garnis de plusieurs rangées de poils; les 2 lobes internes sont petits et pilifères sur toute la partie externe distale.

Maxille I. Le basis triangulaire a sa surface couverte de poils. L'endite externe large et rigide est pourvu de grosses soies distales dentées; il porte des poils sur la partie distale-externe et une rangée de poils sur le bord interne. L'endite interne membraneux est muni de grosses soies distales barbelées.

Maxille II. La praecoxa de forme semi-circulaire a sa surface couverte de poils. Les endites externe et médian étroits, à bord apical oblique, sont surmontés d'une rangée de soies lamellifères. L'endite interne large, à bord apical oblique, possède des soies barbelées distales et une rangée de poils sur le bord interne.

Maxillipède. Le basis rectangulaire est couvert de poils dans sa partie proximale-externe. L'endite interne large est pourvu apicalement de 2 rangées de soies barbelées. Le fouet compte 5 articles: les apex des 3 lobes et du 5ème article sont garnis de soies.

Péréiopodes I à VII. Le basis robuste a la forme d'un prisme quadrangulaire; sur la crête tergale des péréiopodes VI et VII, il porte une rangée de petites épines.

L'ischion robuste, de forme triangulaire, présente un apex sub-médian et une petite saillie tergo-distale arrondie; l'apex des péréiopodes VI et VII a une position plus distale; il est orné d'épines.

Le méros court, de forme rectangulaire, est prolongé par un lobe tergo-distal surmonté d'épines. Sternalement, il est pourvu de phanères pectinées qui sont plus nombreuses sur les péréiopodes VI et VII; une bordure de soies masque les phanères sur les péréiopodes II à IV.

Le carpe est très court et de forme triangulaire pour le péréiopode I, plus long et piriforme pour les péréiopodes II à V, puis rectangulaire pour les péréiopodes VI et VII; il porte des épines tergaes et des phanères pectinées sternales. Des soies nombreuses, insérées en brosse, sont présentes sur les péréiopodes II à IV.

Le propode, de forme rectangulaire, est pourvu de phanères pectinées sternales; une bordure de soies en brosse est présente sur les péréiopodes II à IV.

Le dactyle est court, prolongé par 2 ongles de taille très inégale.

Pénis. Les apophyses génitales situées sur le milieu du 7ème sternite, sont longues et étroites.

Pléopodes I à III. Le basis, de forme rectangulaire, est pourvu respectivement de 4, 3, 3 ou 5, 4, 3 épines dentées à l'angle distal-interne; les bords externe et interne sont garnis de soies. L'exopodite des pléopodes I et II est uniarticulé, celui du pléopode III est biarticulé; il est ovoïdal et porte de longues soies pennées sur le bord externe. L'endopodite, de forme triangulaire, est arrondi suivant le bord externe pour le pléopode II, plus arrondi pour le pléopode III; le bord distal porte de longues soies pennées, le bord interne une rangée de soies. L'appendix masculina qui est présent sur le pléopode II mesure la même longueur que l'endopodite mais le dépasse car son point d'insertion se situe dans la région proximale-interne. Son apex est arrondi et sa surface couverte de petites soies.

Pléopode IV. Le basis, de forme triangulaire, à bord interne arrondi, est pourvu d'une rangée de soies sur le bord externe. L'exopodite est biarticulé et cordiforme; il porte une rangée de soies courtes sur le bord externe et une soie pennée distale. L'endopodite a un rôle respiratoire; son apex courbé du côté interne forme un court sinus.

Pléopode V. Le basis a une forme rectangulaire, à bord interne arrondi. L'exopodite est biarticulé et étroit; il possède une rangée externe de soies et des protubérances spinifères distales. L'endopodite a un rôle respiratoire.

Uropodes. Leurs extrémités dépassent largement l'apex telsonique. L'exopodite a une forme lancéolée dont le bord interne-proximal est convexe, le bord externe est droit et épaissi sur toute sa longueur et dont l'extrémité distale est spiniforme.

Les bords externe et interne sont légèrement dentés et la surface sternale est grenue. Les bords et la surface sternale portent de longues soies. Sa longueur est supérieure à celle de l'endopodite suivant le rapport $L \text{ exop.} / L \text{ endop.} = 1,2$. L'endopodite, de forme rectangulaire, a l'extrémité distale externe prolongée en épines; les bords externe et interne à peine ondulés sont pourvus de nombreuses soies ainsi que la surface externe; le bord interne droit porte une rangée de soies courtes.

Couleur. Sur le vivant, la teinte observée est uniforme d'un orange vif.

Description d'une ♀ paratype (ovigère). — Longueur 9,2 mm.

Corps de surface lisse.

Céphalon semblable à celui du mâle.

Péréion. Les épimères portent des soies très fines.

Pléon. La partie médiane caudale du métasome antérieur est légèrement convexe. Le métasome postérieur ou pléotelson apparaît très légèrement caréné dans la partie antérieure, puis concave et à nouveau bombée au niveau de l'apex telsonique. Le contour telsonique présente une tridenture à peine marquée.

Antenne I. Le fouet se compose de 14 articles rectangulaires, munis à partir du 4ème de 2 puis d'un seul asque sensoriel à l'angle rostro-distal; l'apex porte des soies.

Antenne II. Le fouet se compose de 15 articles rectangulaires.

Epistome. La partie distale triangulaire porte des soies ciliées; les prolongements proximaux ont une orientation presque parallèle à l'axe rostro-caudal.

Labre. Le bord proximal arrondi porte une rangée de poils très fins.

Mandibule. La pars incisiva est fragile et émoussée; la surface molaire est lisse et bordée de soies; la lacinia mobilis et la rangée de soies épineuses manquent.

Hypostome bilobé, les bords sont glabres.

Maxille I. L'endite externe est de consistance fragile; il est pourvu de poils sur le bord externe et sur sa partie distale-interne; son apex est arrondi et porte de très courtes épines. L'endite interne présente une partie distale lobée ayant une petite épine apicale.

Maxille II. La praecoxa porte une rangée de poils sur le bord interne; les lobes distaux des 3 endites ont un contour uniforme; le lobe médian est pourvu de 3 petites soies distales; le lobe interne porte une rangée de poils sur le bord interne et le lobe externe est surmonté de 4 petites soies, sur la maxille droite seulement.

Maxillipède. Les pièces basales sont arrondies et bordées de poils. Le basis est large et porte une rangée de soies pennées sur le bord externe et des soies sur le bord interne; il est plus court que l'endite interne suivant le rapport $L \text{ basis} / L \text{ endite} = 0,8$. L'endite interne est large, son apex arrondi est porteur de petites soies barbelées. Les lobes des 2ème et 3ème articles du palpe sont très prononcés, celui du 4ème est peu prononcé; les apex sont émoussés et dépourvus de soies.

Périopodes I à VII. Le basis et l'ischion sont semblables à ceux du mâle. Le méros, carpe et propode sont dépourvus de la bordure sternale de soies.

Oostégites. Les 4 paires de lames membraneuses sont insérées sur les sternites I à IV.

Pléopodes I à V sont semblables à ceux du mâle.

Uropodes. Leurs extrémités atteignent l'apex telsonique. L'exopodite a une forme lancéolée et étroite, aux bords externe et interne convexes; le bord externe est légèrement épaissi dans sa partie proximale-interne; ses bords sont pourvus de soies. Sa longueur est légèrement inférieure à celle de l'endopodite suivant le rapport $L \text{ exp.} / L \text{ endop.} = 0,9$. L'endopodite a une forme rectangulaire à bord externe convexe, à bord interne droit et à bord distal tronqué obliquement; il est pourvu de soies sur les bords externe et distal; le bord interne porte des poils.

Description de la forme juvénile (stade prémature). — La surface du corps est lisse.

Pléon. Chez le jeune mâle, la partie médiane caudale du métasome antérieur se prolonge sur le pléotelson en 2 petits angles. Chez la jeune femelle, la partie médiane est arrondie. Chez les jeunes mâle et femelle, le profil du pléotelson est caréné dans sa partie proximale puis il s'incurve et redevient convexe dans sa partie distale. Les terminaisons des carènes sont anguleuses et forment deux petits tubercles de part et d'autre d'un sillon médian. Le contour telsonique est tridenté; la dent médiane est large, les dents latérales sont réduites.

Uropodes. Leurs extrémités atteignent ou sont légèrement inférieures à l'apex telsonique. L'exopodite est large suivant le rapport $L/l = 2,5$; il a une forme lancéolée aux bords externe et interne fortement convexes se terminant en une petite pointe distale; les bords à peine crantés portent des soies. L'endopodite a une forme rectangulaire aux bords externe et interne légèrement convexes et au bord distal incurvé; celui-ci forme avec le bord externe une extrémité distale pointue; les bords externe et distal sont pourvus de soies; le bord interne porte une rangée de poils. Les 2 rames sont égales.

Remarques. — Les paratypes présentent quelques variations intraspécifiques. Les tailles des paratypes ♂ varient de 10 à 11 mm. Chez 2 paratypes ♂, la longueur de l'appendix masculina est inférieure à celle de l'endopodite II suivant le rapport $L \text{ appen.} / L \text{ endop.} = 0,94$ et $0,96$. Chez un paratype ♀, aucune épine apicale n'est présente sur les endites des maxilles I, II et des maxillipèdes. Au sujet de la couleur, l'espèce montre une pigmentation polychromatique.

Ecologie: cf. Dumay (1970: 832-835).

Discussion. — Je fus amenée à considérer l'espèce *Cymodoce hanseni* comme nouvelle à cause des caractères morphologiques suivants:

— absence d'ornementation sur le périéron (♂ adulte); par ce caractère, l'espèce ressemble à *C. spinosa* (Risso).

— ornementation grenue et pilosité courte et serrée sur le pléon (♂ adulte); par ce caractère, l'espèce se rapproche de *C. emarginata* sensu Torelli.

— présence sur le pléotelson de 2 tubercules médians, anguleux et lisses qui sont les terminaisons de 2 carènes situées dans le prolongement des 2 dents caudales du métasome antérieur (δ adulte); par ce caractère, l'espèce est intermédiaire entre *C. spinosa* et *C. truncata* (Montagu).

— présence d'un tubercule impair dressé au-dessus d'une globuleuse convexité distale (δ adulte); par ce caractère, l'espèce est intermédiaire entre *C. emarginata* et *C. truncata*.

— contour telsonique tridenté (φ adulte); par ce caractère, l'espèce se rapproche de *C. spinosa*.

— le basis du maxillipède est peu développé: $L \text{ basis} / L \text{ endite interne} = 0,8$ (φ adulte).

— $L \text{ appendix masculina} / L \text{ endopodite} = 0,94 \text{ à } 1$ (δ adulte); ce caractère rapproche l'espèce de *C. spinosa*.

— forme lancéolée de l'exopodite de l'uropode (φ adulte); par ce caractère, l'espèce ressemble à *C. spinosa*.

— forme lancéolée large de l'exopodite de l'uropode suivant le rapport $L/l = 2,5$ (juvénile).

— forme ogivale de l'exopodite de l'uropode (φ adulte).

REMERCIEMENTS

Je tiens à exprimer ma reconnaissance à Madame D. Bellan-Santini de la Station Marine d'Endoume à Marseille et à Monsieur le Professor C. Bocquet, Directeur du Laboratoire de Génétique évolutive à Gif-sur-Yvette pour leur assistance et leurs critiques.

SUMMARY

Cymodoce hanseini nov. sp. was found at depths of 10 to 25 m on eelgrass bottoms in the Gulf of Marseilles (Mediterranean Sea). The new species resembles *C. spinosa* (Risso), *C. emarginata* sensu Torelli and *C. truncata* (Montagu); the latter has also been collected on the same type of bottom.

BIBLIOGRAPHIE

- DUMAY, D., 1970. Écologie et biologie du genre *Cymodoce* (Isopoda Flabellifera) dans la région de Marseille. *Téthys*, **2** (4): 827-858.
- , 1972. Révision systématique du genre *Cymodoce* (Isopoda Flabellifera), 1. Introduction et description de deux espèces: *Cymodoce truncata* (Montagu) et *C. (truncata) pilosa* Milne Edwards. *Tethys* (sous presse).
- HANSEN, H. J., 1905. On the propagation, structure and classification of the family Sphaeromatidae. *Quart. J. micr. Sci.*, **49**: 69-135, pl. 7.
- LEACH, W. E., 1818. *Cymothoadées*. In: G. L. C. F. D. CUVIER éd., *Dictionnaire des sciences naturelles*, **12**: 338-345. (Paris).
- MILNE EDWARDS, H., 1840. Famille des Sphéromiens. *Histoire naturelle des Crustacés*, **3**: 197-224 (Paris).
- MONOD, Th., 1931. Tanaidacés et Isopodes aquatiques de l'Afrique occidentale et septentrionale, 3. Sphaeromatidae. *Mém. Soc. Sci. nat. Maroc*, **29**: 7-91.
- NIERSTRASZ, H. F., 1931. Die Isopoden der Siboga-Expedition, 4. Isopoda genuina. 2. Flabellifera. *Siboga Exped. Mongr.*, **32c**: 191-222.
- RACOVITZA, E. G., 1923. Notes sur les Isopodes. *Arch. Zool. exp. gén.*, **61**, (N. & R.), **4**: 75-122.
- TORELLI, B., 1930. Sferomidi del golfo di Napoli. Revisione degli sferomidi mediterranei. *Pubbl. Staz. zool. Napoli*, **10** (3): 297-343.

Reçu le 4 octobre 1971.